

S P R A W O Z D A N I E
Z POMIARÓW PÓL ELEKTROMAGNETYCZNYCH
WYKONANYCH DLA CELÓW OCHRONY ŚRODOWISKA

LBMT/069/11/23/PEM/OS

OBIEKT	Instalacja radiokomunikacyjna
NR / NAZWA STACJI	BT21480 KOSZYCE II
ADRES STACJI	dz. nr 119/2, Filipowice
GMINA	Koszyce
POWIAT	proszowicki
WOJEWÓDZTWO	małopolskie

Sporządzający sprawozdanie	mgr inż. Kinga Kowalska	
Autoryzacja	inż. Michał Moliński	

Data pomiarów: 27-11-2023

SPIS TREŚCI

1. Informacje ogólne
2. Parametry źródeł PEM
 - 2.1. Anteny sektorowe
 - 2.2. Anteny radioliniowe
3. Opis zestawu pomiarowego
 - 3.1. Miernik natężenia pola elektromagnetycznego
 - 3.2. Miernik temperatury i wilgotności względnej powietrza
 - 3.3. Dalmierz laserowy
 - 3.4. Wyznaczanie współrzędnych geograficznych
4. Podstawa prawna
5. Metodyka wykonywania pomiarów
6. Wyniki pomiarów
7. Stwierdzenie zgodności z wymaganiami

1. INFORMACJE OGÓLNE

Prowadzący Instalację	Towerlink Poland Sp. z o.o., 01-211 Warszawa, ul. Marcina Kasprzaka 4
Zleceniodawca	Electronic Control Systems SA, ul. Krakowska 84, 32-083 Balice k. Krakowa
Przedstawiciel zleceniodawcy	Małgorzata Jańczy-Trela
Miejsce instalacji anten	Wieża kratowa
Miejsce instalacji urządzeń	Urządzenia typu outdoor u podstawy wieży
Nazwiska osób wykonujących pomiary	Henryk Dzioch, pracownik techniczny
Poinformowanie o pomiarach	Zgodnie z pkt 14 rozporządzenia Ministra Klimatu (Dz. U. 2022 poz. 2630).
Data i godzina wykonania pomiarów	27-11-2023,09:10-10:30
Temperatura otoczenia [°C]	0,6 - 0,8
Wilgotność względna [%]	74,6 - 74,4
Opady atmosferyczne	Brak opadów
Parametry badanego obiektu	Identyfikacja źródeł i parametrów technicznych na podstawie dokumentacji technicznej oraz na podstawie obserwacji i informacji udzielonych przez Zleceniodawcę
Inne źródła pól elektromagnetycznych	Stwierdzono występowanie źródeł pól elektromagnetycznych, pochodzących od operatorów Play, T-Mobile, które w zakresie badanych częstotliwości mogą bezpośrednio wpływać na wynik wartości mierzonej
Data opracowania	28-11-2023

2. PARAMETRY ŹRÓDEŁ PEM

Konfiguracja anten sektorowych oraz radioliniowych została przekazana przez zleceniodawcę.

2.1. Anteny sektorowe

Charakterystyka promieniowania			kierunkowa					
Rzeczywisty czas pracy [h/dobę]			24					
Warunki pracy			znamionowe					
Lp.	Częstotliwość lub zakresy częstotliwości pracy	Typ/producent anteny	Liczba anten	Azymut	Średni kąt pochylecia	Zakres kątów pochylecia	Wysokość środka elektr. anteny	EIRP
-	[MHz]	-	-	[°]	[°]	[°]	[m n.p.t.]	[W]
1	900	A704517R0V06/ Huawei	1	30	6	0-10	47,1	4953
2	900	A704517R0V06/ Huawei	1	130	3	0-10	47,1	5331
3	900	A704516R01V06/ Huawei	1	250	6	0-10	47,1	4875
4	420	B-65B-R1VB/ CommScope	1	30	6	0-16	37,0	791
5	420	B-65B-R1VB/ CommScope	1	130	3	0-16	37,0	791
6	420	B-65B-R1VB/ CommScope	1	250	6	0-16	37,0	791
7	1800/2600	120115/ CellMax	1	40	6/6	2-10/2-10	47,7	9526
8	1800/2600	ADU4521R0V06/ Huawei	1	130	3/3	0-6/0-6	47,3	12132
9	1800/2600	120115/ CellMax	1	250	6/6	2-10/2-10	47,7	9526

2.2. Anteny radioliniowe

Charakterystyka promieniowania		kierunkowa						
Rzeczywisty czas pracy [h/dobę]		24						
Warunki pracy		znamionowe						
Lp.	Typ / producent anteny	Wysokość środka elektr. anteny	Azymut	Częstotliwość pracy	Moc wyjściowa nadajnika	Zysk energetyczny	Średnica	EIRP
		[m n.p.t.]	[°]	[GHz]	[dBm]	[dBi]	[m]	[W]
1	A13D06MAC-3NX/ Huawei	37,0	254	13	18	39,6	0,6	575,4

3. OPIS ZESTAWU POMIAROWEGO

3.1. Miernik natężenia pola elektromagnetycznego

Uniwersalny szerokopasmowy miernik natężenia pola elektromagnetycznego produkcji Narda Safety Test Solution typu NBM-550, nr seryjny E-0333 z sondą pomiarową pola elektrycznego typu EF9091 nr seryjny A-0107 pracującą w paśmie 80MHz – 90GHz. Dolna granica akredytowanego zakresu pomiarowego wynosi 0,8 V/m. Świadectwo wzorcowania Nr LWiMP/W/218/22 z dnia 15 lipca 2022 r. wydane przez Laboratorium Wzorców i Metrologii Pola Elektromagnetycznego Politechniki Wrocławskiej.

3.2. Miernik temperatury i wilgotności względnej powietrza

Termohigrometr firmy AZ Instrument Corp. typu AZ 8703 o numerze seryjnym 9967025. Świadectwo wzorcowania nr 1710/AH/20 wydane dnia 10 sierpnia 2020 r. Przez Laboratorium Pomiarowe 'MUTECH' (AP 106), Łowicz.

3.3. Dalmierz laserowy

Dalmierz laserowy produkcji firmy Hilti, typ PD-32 o numerze seryjnym 14307386. Nr Świadectwa wzorcowania 2448/AM/20. Data wzorcowania 18.08.2020 r.

3.4. Wyznaczanie współrzędnych geograficznych

Współrzędne geograficzne pionów pomiarowych wyznaczone są za pomocą aplikacji GPS na urządzeniu mobilnym.

4. PODSTAWA PRAWNA

Rozporządzenie Ministra Zdrowia z dnia 17 grudnia 2019 r. w sprawie dopuszczalnych poziomów pól elektromagnetycznych w środowisku (Dz. U. 2019 poz. 2448).

Rozporządzenie Ministra Klimatu z dnia 17 lutego 2020 r. w sprawie sposobów sprawdzania dotrzymania dopuszczalnych poziomów pól elektromagnetycznych w środowisku (Dz. U. 2022 poz. 2630).

Ustawa z dnia z dnia 27 kwietnia 2001 r. Prawo ochrony środowiska (Dz.U. 2022 poz. 2556).

Dokument DAB-18 "Akredytacja laboratoriów badawczych wykonujących pomiary pola elektromagnetycznego w środowisku, Wydanie 2 z dnia 25.06.2021 r.

5. METODYKA WYKONYWANIA POMIARÓW

Załącznik do rozporządzenia Ministra Klimatu z dnia 17 lutego 2020 r. w sprawie sposobów sprawdzania dotrzymania dopuszczalnych poziomów pól elektromagnetycznych w środowisku (Dz. U. 2022 poz. 2630).

6. WYNIKI POMIARÓW

Niepewność rozszerzona pomiaru składowej elektrycznej wynosi 50,2% przy poziomie ufności 95% i współczynniku rozszerzenia $k=2$.

W przypadku gdy wynik pomiaru uzyskany jako wartość wskazana przez miernik pola elektromagnetycznego jest wartością poniżej dolnej granicy akredytowanego zakresu pomiarowego, stosowane jest oznaczenie „pdg*”. W takim przypadku jest to wynik spoza zakresu akredytacji i do obliczenia wyników WME i WMH przyjmuje się wartość skorelowaną z rzeczywistym wynikiem pomiaru jako dolną granicę akredytowanego zakresu pomiarowego.

Tabela nr 1. Zestawienie wyników pomiarów

Nr pionu	Opis pionu pomiarowego ¹	Wartość zmierzona E ²	Wysokość pomiarowa	Wartość obliczona H	Wartość końcowa E ^{3,5}	Wartość końcowa H ^{4,5}	Wartość wskaźnikowa WME ⁶	Wartość wskaźnikowa WMH ⁶	Współrzędne geograficzne
		[V/m]	[m]	[A/m]	[V/m]	[A/m]	-	-	-
1	2	3	4	5	7	8	9	10	11
1	PKP – w otoczeniu instalacji radiokomunikacyjnej	0,9	2	0,002	1,4	0,004	0,05	0,05	50° 10'53,1"N 20° 35'42,4"E
2	GKP - az. 130°	1,1	2	0,003	1,7	0,004	0,06	0,06	50° 10'54,3"N 20° 35'42,6"E
3	GKP - az. 250°	1,1	2	0,003	1,7	0,004	0,06	0,06	50° 10'54,3"N 20° 35'41,3"E
4	GKP - az. 254°	1	2	0,003	1,5	0,004	0,05	0,05	50° 10'54,4"N 20° 35'41,6"E
5	GKP - az. 30°	1	2	0,003	1,5	0,004	0,05	0,05	50° 10'54,7"N 20° 35'42,3"E
6	GKP - az. 40°	0,9	2	0,002	1,4	0,004	0,05	0,05	50° 10'54,7"N 20° 35'42,4"E
7	GKP - az. 250°	0,8	2	0,002	1,2	0,003	0,04	0,04	50° 10'53,9"N 20° 35'39,7"E
8	GKP - az. 254°	pdg*	0,3-2	0,002	1,2	0,003	0,04	0,04	50° 10'54,0"N 20° 35'39,4"E
9	GKP, wzdłuż linii prostej łączącej urządzenia nadawcze z najbliższą zabudową, Filipowice 2, przy bramie wjazdowej	pdg*	0,3-2	0,002	1,2	0,003	0,04	0,04	50° 11'3,4"N 20° 35'39,7"E
10	GKP - az. 40°	pdg*	0,3-2	0,002	1,2	0,003	0,04	0,04	50° 11'7,1"N 20° 35'58,7"E
11	GKP, wzdłuż linii prostej łączącej urządzenia nadawcze z najbliższą zabudową, Filipowice 33, przy bramie wjazdowej	pdg*	0,3-2	0,002	1,2	0,003	0,04	0,04	50° 11'9,3"N 20° 35'52,0"E
12	GKP - az. 30°	pdg*	0,3-2	0,002	1,2	0,003	0,04	0,04	50° 11'2,1"N 20° 35'49,0"E
13	GKP - az. 40°	pdg*	0,3-2	0,002	1,2	0,003	0,04	0,04	50° 11'0,9"N 20° 35'50,6"E
14	PKP – w otoczeniu instalacji radiokomunikacyjnej	pdg*	0,3-2	0,002	1,2	0,003	0,04	0,04	50° 10'56,7"N 20° 35'32,6"E
15	GKP - az. 254°	0,8	2	0,002	1,2	0,003	0,04	0,04	50° 10'52,2"N 20° 35'29,1"E
16	GKP - az. 250°	0,9	2	0,002	1,4	0,004	0,05	0,05	50° 10'51,6"N 20° 35'29,8"E
17	GKP - az. 250°	pdg*	0,3-2	0,002	1,2	0,003	0,04	0,04	50° 10'49,2"N 20° 35'19,3"E
18	GKP - az. 254°	pdg*	0,3-2	0,002	1,2	0,003	0,04	0,04	50° 10'50,2"N 20° 35'18,7"E

Nr pionu	Opis pionu pomiarowego ¹	Wartość zmierzona E ²	Wysokość pomiarowa	Wartość obliczona H	Wartość końcowa E ^{3,5}	Wartość końcowa H ^{4,5}	Wartość wskaźnikowa WME ⁶	Wartość wskaźnikowa WMH ⁶	Współrzędne geograficzne
		[V/m]	[m]	[A/m]	[V/m]	[A/m]	-	-	
1	2	3	4	5	7	8	9	10	11
19	GKP - az. 130°	1	2	0,003	1,5	0,004	0,05	0,05	50° 10'52,5"N 20° 35'45,9"E
20	PKP – w otoczeniu instalacji radiokomunikacyjnej	pdg*	0,3-2	0,002	1,2	0,003	0,04	0,04	50° 10'50,3"N 20° 35'57,1"E
21	GKP - az. 130°	pdg*	0,3-2	0,002	1,2	0,003	0,04	0,04	50° 10'45,5"N 20° 35'58,9"E
22	GKP - az. 130°	pdg*	0,3-2	0,002	1,2	0,003	0,04	0,04	50° 10'44,5"N 20° 36'0,8"E
23	GKP - az. 130°	1	2	0,003	1,5	0,004	0,05	0,05	50° 10'51,2"N 20° 35'48,4"E
24	GKP - az. 130°	pdg*	0,3-2	0,002	1,2	0,003	0,04	0,04	50° 10'48,0"N 20° 35'54,4"E
25	PKP – w otoczeniu instalacji radiokomunikacyjnej	pdg*	0,3-2	0,002	1,2	0,003	0,04	0,04	50° 10'47,5"N 20° 35'58,9"E
26	PKP – w otoczeniu instalacji radiokomunikacyjnej	0,8	2	0,002	1,2	0,003	0,04	0,04	50° 10'49,3"N 20° 35'44,9"E
27	PKP – w otoczeniu instalacji radiokomunikacyjnej	pdg*	0,3-2	0,002	1,2	0,003	0,04	0,04	50° 10'52,7"N 20° 35'53,2"E
28	PKP – w otoczeniu instalacji radiokomunikacyjnej	pdg*	0,3-2	0,002	1,2	0,003	0,04	0,04	50° 10'53,1"N 20° 35'59,5"E
29	PKP – w otoczeniu instalacji radiokomunikacyjnej	pdg*	0,3-2	0,002	1,2	0,003	0,04	0,04	50° 10'45,4"N 20° 35'40,3"E
30	GKP, wzdłuż linii prostej łączącej urządzenia nadawcze z najbliższą zabudową	pdg*	0,3-2	0,002	1,2	0,003	0,04	0,04	50° 10'43,7"N 20° 35'24,4"E
31	GKP, wzdłuż linii prostej łączącej urządzenia nadawcze z najbliższą zabudową	pdg*	0,3-2	0,002	1,2	0,003	0,04	0,04	50° 11'6,3"N 20° 35'45,8"E
32	PKP – w otoczeniu instalacji radiokomunikacyjnej	0,8	2	0,002	1,2	0,003	0,04	0,04	50° 10'55,2"N 20° 35'41,3"E
33	GKP - az. 30°	pdg*	0,3-2	0,002	1,2	0,003	0,04	0,04	50° 10'59,4"N 20° 35'46,5"E
34	GKP - az. 40°	pdg*	0,3-2	0,002	1,2	0,003	0,04	0,04	50° 10'58,7"N 20° 35'47,6"E
35	PKP – w otoczeniu instalacji radiokomunikacyjnej	pdg*	0,3-2	0,002	1,2	0,003	0,04	0,04	50° 10'56,0"N 20° 35'39,7"E

pdg* - poniżej dolnej granicy akredytowanego zakresu pomiarowego wynoszącej 0,8 V/m (<0,8 V/m) - wynik spoza zakresu akredytacji

1 oznaczenia: GKP - główny kierunek pomiarowy, PKP - pomocniczy kierunek pomiarowy, DPP - dodatkowy pion pomiarowy

2 maksymalna wartość chwilowa

3 wartość natężenia pola elektrycznego powiększona o niepewność pomiaru

4 wartość natężenia pola magnetycznego powiększona o niepewność pomiaru

5 dla wyników poniżej czułości zestawu pomiarowego przyjęto niepewność dla minimalnej wartości z zakresu pomiarowego

6 na podstawie rozpoznania źródeł oraz w uzgodnieniu ze Zleceniodawcą, do wyznaczenia wartości wskaźnikowej WME i WMH przyjęto wartości dopuszczalne pola elektrycznego i magnetycznego wynoszące odpowiednio 28 V/m oraz 0,073 A/m

7. STWIERDZENIE ZGODNOŚCI Z WYMAGANIAMI

Rozporządzenie Ministra Zdrowia z dnia 17 grudnia 2019 r. (Dz. U. 2019 poz. 2448) określa zróżnicowane dopuszczalne poziomy pól elektromagnetycznych dla miejsc dostępnych dla ludności. Zgodnie z ww. rozporządzeniem, na podstawie rozpoznania źródeł pól e-m oraz w oparciu o wytyczne zleceńodawcy, dla rozpatrywanej instalacji przyjęto wartości dopuszczalne składowej elektrycznej i magnetycznej wynoszące odpowiednio 28 V/m oraz 0,073 A/m. Za wynik pomiaru przyjęto przyjęto maksymalną wartość chwilową zgodnie z pkt 11 załącznika do rozporządzenia Ministra Klimatu z dnia 17 lutego 2020 r. (Dz. U. 2022 poz. 2630).

Na podstawie przeprowadzonych pomiarów w dniu 27-11-2023r. stwierdzono, że w otoczeniu instalacji radiokomunikacyjnej, w miejscach wykonania pomiarów nie występują przekroczenia dopuszczalnych poziomów pól elektromagnetycznych określonych w ww. przepisach. Zgodnie z pkt 25 ppkt 1 oraz pkt 26 załącznika do rozporządzenia Ministra Klimatu z dnia 17 lutego 2020 r. (Dz. U. 2022 poz. 2630) żadna z wartości wskaźnikowych WME i WMH nie przekracza wartości 1.

Załączniki:

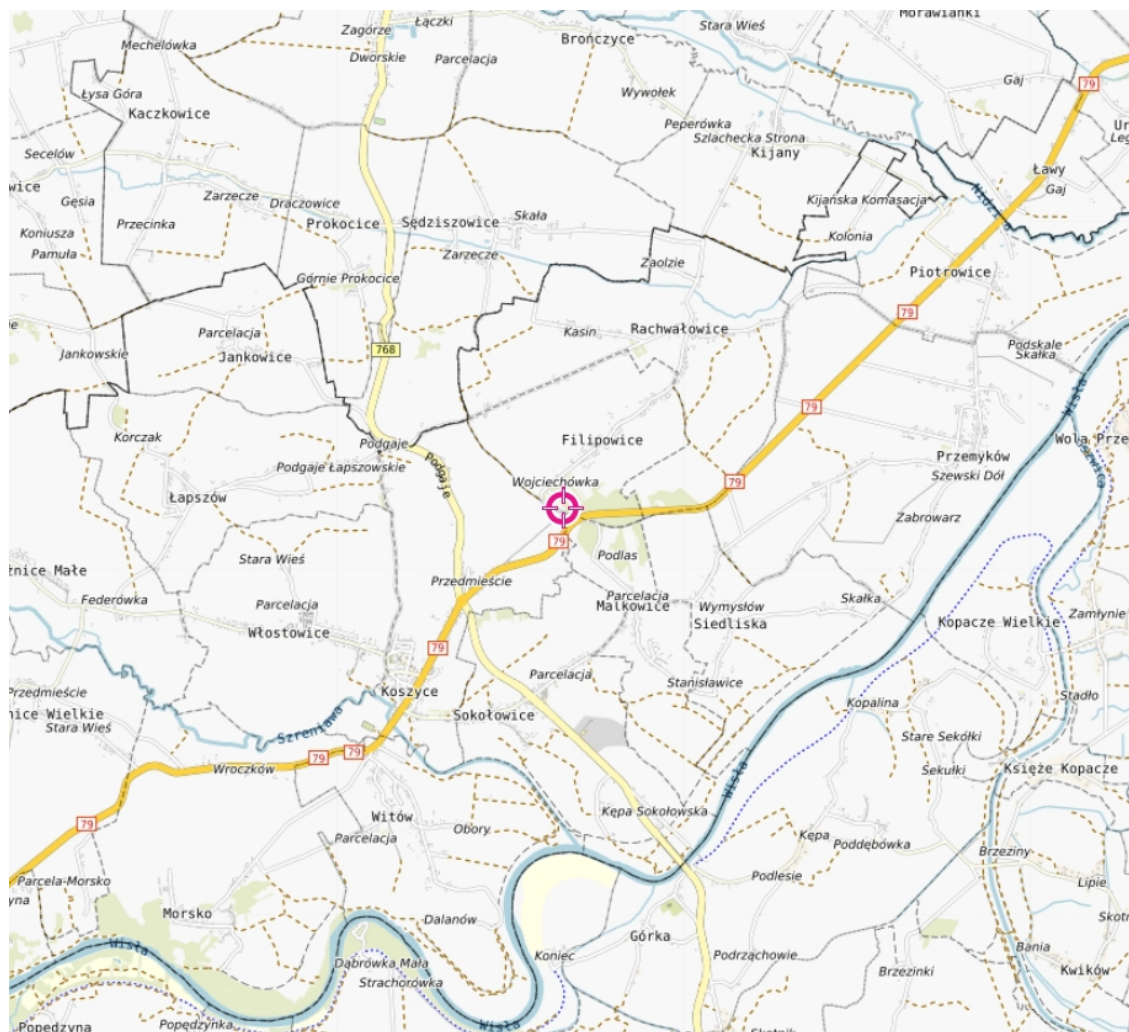
1. Lokalizacja obiektu
2. Dokumentacja fotograficzna
3. Rys. 1

KONIEC SPRAWOZDANIA

Bez pisemnej zgody sprawozdanie nie może być powielane inaczej, jak tylko w całości.

W ciągu 14 dni od daty otrzymania sprawozdania przyjmowane są uwagi i zastrzeżenia w formie pisemnej na adres Laboratorium Badawczego.

ZAŁĄCZNIK 1: LOKALIZACJA OBIEKTU



Współrzędne geograficzne obiektu

długość :	20°35'42,1"E
szerokość :	50°10'54,6"N

ZAŁĄCZNIK 2: DOKUMENTACJA FOTOGRAFICZNA



Rys.1 Lokalizacja pionów pomiarowych

